



مدیریت حافظه چرک‌نویس و نگاشت وظایف در سامانه‌های بحرانی-مخلوط چندهسته‌ای

سینا عرب‌زاده^۱، مرتضی محجل کفشدوز^۲ و عبدالرضا رسولی کناری^۳

^۱دانشگاه صنعتی قم، sinaarab@live.com

^۲دانشگاه صنعتی قم، mohajjel@ce.sharif.edu

^۳دانشگاه صنعتی قم، rasouli@qut.ac.ir

چکیده - هزینه قابل توجه بخش‌های پردازشی در سامانه‌های ایمنی-بحرانی باعث شده است که امروزه در صنایع مختلف مانند هواپیما و اتومبیل تمایل به تجمیع کردن این بخش‌ها بر روی تعداد کمتر هسته‌های پردازشی بیشتر شود. چالشی که با تجمیع کردن وظایف مختلف پردازشی بر روی هسته‌های پردازشی کمتر ایجاد می‌شود، سطح مختلف بحرانیّت و تضمین موردنیاز هر یک از این وظایف است که به همین خاطر از آن‌ها به‌عنوان سامانه‌های بحرانی-مخلوط یاد می‌شود. یکی از منابع مهم در این سامانه‌ها حافظه‌ی روی تراشه است که بنا به دلایل پیش‌بینی‌پذیری در بسیاری از پردازنده‌ها به‌صورت حافظه چرک‌نویس پیاده‌سازی می‌شود. در این مقاله دو روش ارائه خواهیم کرد که هدف آن‌ها مدیریت توأمان حافظه چرک‌نویس، نگاشت وظایف به هسته‌های پردازشی، کاهش تعداد هسته‌های پردازشی و در نتیجه کاهش هزینه سامانه است. آزمایش‌ها انجام‌شده بر روی مجموعه وسیعی از محک‌ها نشان‌دهنده کارایی روش‌های ارائه شده است.

کلید واژه- پردازنده‌های چندهسته‌ای، حافظه چرک‌نویس، زمان‌بندی و نگاشت وظایف، سامانه‌های بحرانی-مخلوط.

آید؛ ولی در مقابل برای استفاده بهینه از سخت‌افزار باید منابع (مانند پردازنده‌ها، حافظه‌ها و غیره) به‌صورت مشترک استفاده بشوند.

یکی از منابع مشترک که می‌تواند تأثیر بسزایی در کارایی سامانه داشته باشد، حافظه‌های سطح تراشه هستند. این حافظه‌ها به دلیل سرعت بالایی که دارند می‌توانند به مقدار قابل توجه‌ای زمان اجرای وظایف را کاهش دهند. در پردازنده‌های عام‌منظوره این حافظه‌ها به‌صورت حافظه نهان پیاده‌سازی و کنترل آن توسط سخت‌افزار انجام می‌شود. نرم‌افزار به‌طور معمول کنترل مستقیمی بر محتوای حافظه نهان ندارد از این‌رو این حافظه از پیش‌بینی‌پذیری کمی برخوردار است لذا نمی‌توان به‌راحتی از آن در سامانه‌های بی‌درنگ استفاده کرد. برای حل این مشکل از حافظه چرک‌نویس [۴] استفاده می‌شود که توسط نرم‌افزار قابل دسترس و مدیریت است. علاوه بر این، حافظه چرک‌نویس ساختار ساده‌تری نسبت به حافظه نهان دارد و انرژی مصرفی آن نیز کمتر است [۵]. ولی مسئله‌ای که باید حل شود مدیریت کارایی حافظه چرک‌نویس است.

با توجه به اهمیت سامانه‌های بحرانی-مخلوط پژوهش‌های فراوانی در این زمینه انجام‌شده است. مقاله [۶] مرور جامعی بر این پژوهش‌ها داشته است. بیشتر پژوهش‌هایی که در این زمینه انجام شده‌اند به مسئله مدیریت حافظه چرک‌نویس توجه‌ای نکرده‌اند. این مقاله به ارائه روش‌هایی برای نگاشت توأمان وظایف و مدیریت حافظه چرک‌نویس بر روی پردازنده‌های چندهسته‌ای می‌پردازد. هدف از این روش‌ها کاهش تعداد هسته‌های پردازشی استفاده شده و در نتیجه کاهش هزینه ساخت سامانه است. نوآوری‌های این پژوهش عبارت‌اند از:

۱. به رابطه متقابل زمان‌بندی وظایف، تخصیص حافظه چرک‌نویس و رفتار زمانی وظایف در سامانه‌های بحرانی-مخلوط توجه شده است.
۲. جهت کاهش تعداد هسته‌های پردازشی، یک مسئله‌ی بهینه‌سازی برای نگاشت وظایف و تخصیص حافظه چرک‌نویس طراحی شده است.
۳. با توجه به NP-کامل بودن مسئله مذکور [۵] روش‌های مکاشفه‌ای کارایی برای حل این مسئله ارائه شده است.

۱- مقدمه

بخش‌های الکترونیکی در بسیاری از سامانه‌های ایمنی- بحرانی مانند هواپیما و اتومبیل دارای هزینه قابل توجه‌ای می‌باشد. برای مثال در یک خودرو *BMW* سال ۲۰۰۶ حدود صد ریزپردازنده استفاده شده است [۱] که به وظایفی مانند تنظیم سوخت‌رسانی مناسب به موتور، تنظیم نور چراغ‌ها، کنترل سامانه تهویه خودرو و تشخیص وضعیت راننده می‌پردازند.

یکی از روش‌هایی که برای کاهش هزینه بخش‌های الکترونیکی استفاده می‌شود مجتمع کردن بخش‌های کنترلی و پردازشی در پردازنده‌های با تعداد کمتر و به اشتراک گذاشتن منابع سخت‌افزاری است؛ برای این منظور استانداردهایی همچون استاندارد *AUTOSAR* برای صنعت خودروسازی و استاندارد *CAST32A* برای صنعت هواپیما ارائه شده است.

در سامانه‌های ایمنی- بحرانی به‌طور معمول بخش‌های مختلف سامانه، بحرانیّت مختلفی دارند. بحرانیّت یک بخش از سامانه بر اساس سطح تضمین مورد نیاز آن در برابر خرابی تعریف می‌شود [۲]. به سامانه‌هایی که بخش‌های مختلف آن‌ها سطح بحرانیّت مختلفی دارند و مسئولیت پردازش این بخش‌های مختلف بر عهده یک سخت‌افزار است سامانه‌های بحرانی-مخلوط گفته می‌شود [۳].

اگرچه با تجمیع کردن بخش‌های مختلف کنترلی و پردازشی بر روی سخت‌افزار مشترک هزینه‌های سخت‌افزاری کاهش قابل توجه‌ای می‌یابند ولی چالش‌های بزرگی به وجود خواهد آمد. چالش اصلی این است که وظایف مختلف سامانه که هرکدام بحرانیّت خاص خود را دارند و قبلاً بر روی پردازنده‌ها و منابع سخت‌افزاری جدا اجرا می‌شدند، اکنون باید بر روی یک سخت‌افزار اجرا بشوند.

در این سامانه‌ها برای ایجاد تضمین‌های لازم برای هر یک از وظایف با سطح بحرانیّت مختلف، باید به نوعی بخش‌بندی بین وظایف با سطح بحرانیّت مختلف به‌وجود

نظر گرفته شده است (برای مثال [۳]). توجه کنید که در سامانه‌های بحرانی-مخلوط برای وظایف در سطح بحرانیت مختلف زمان اجرای مختلفی در نظر گرفته می‌شود؛ بنابراین برداری از زمان‌های اجرا برای هر یک از وظایف داریم. با توجه به معادله (۱)، هر چه سطح بحرانیت بالاتر می‌رود زمان اجرای وظایف نیز بیشتر یا مساوی سطح بحرانیت پایین در نظر گرفته می‌شود:

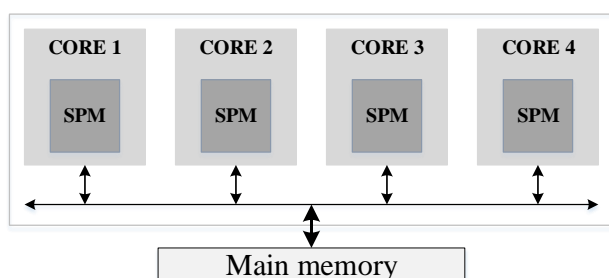
$$L_1 > L_2 \rightarrow C(L_1) \geq C(L_2) \quad (1)$$

دلیل این امر این است که با بیشتر گرفتن بدترین زمان اجرای وظیفه می‌توان تضمین بیشتری برای اجرای صحیح آن داد.

در مدل در نظر گرفته شده از زمان‌بندی با اولویت ثابت استفاده می‌کنیم. از این نوع زمان‌بندی در سامانه‌های واقعی استفاده می‌شود. در این نوع زمان‌بندی در زمان طراحی به هر وظیفه یک اولویت بر اساس ویژگی‌های آن وظیفه داده می‌شود و این اولویت در زمان اجرا تغییر نمی‌کند. سامانه در هر زمان وظیفه آزاد شده با بیشترین اولویت را به‌صورت قبضه‌ای (*Preemptive*) اجرا می‌کند. اگر در حین اجرای یک وظیفه یک وظیفه با اولویت بالاتر آزاد شود، اجرای وظیفه متوقف‌شده و پردازنده وظیفه با اولویت بالاتر را اجرا می‌کند.

مدل سخت‌افزار که ما در این مقاله در نظر گرفته‌ایم یک پردازنده چند هسته‌ای همگن با دو سطح حافظه می‌باشد:

۱. حافظه‌های چرک‌نویس اختصاصی: هر هسته یک حافظه چرک‌نویس اختصاصی دارد که تنها توسط همان هسته قابل دسترسی است.
۲. حافظه اصلی: که هسته‌ها به‌وسیله یک گذرگاه مشترک به آن دسترسی دارند. قابل توجه است که در بسیاری از پردازنده‌های تجاری مانند *MPC5777M*، *ARM7TDMI* و *TMS320C6472* از حافظه چرک‌نویس استفاده شده است. شکل ۱ ساختار در نظر گرفته شده برای یک پردازنده چهار هسته‌ای را نشان می‌دهد. در ساختار در نظر گرفته شده، فرض شده است که هر هسته تأخیر بسیار کمی برای دسترسی به حافظه چرک‌نویس محلی خودش متحمل می‌شود [۱] و برای دسترسی به حافظه اصلی تأخیر بالاتری متحمل می‌شود. برای تضمین یک کران بالای ایمن برای زمان اجرا، ما فرض کرده‌ایم که هر دسترسی به حافظه خارج از تراشه موجب یک تأخیر ثابت (بدترین حالت) می‌شود.



شکل ۱: یک پردازنده چهار هسته‌ای با حافظه‌های چرک‌نویس SPM اختصاصی درون هر هسته

در مدل در نظر گرفته شده، می‌توان به هر وظیفه بخشی از فضای حافظه چرک‌نویس محلی را برای سرعت بخشیدن به اجرای آن تخصیص داد. افزایش سرعت به‌دست‌آمده برای هر وظیفه به‌منظور کاهش *WCET* آن، وابسته به مقدار فضای حافظه چرک‌نویس تخصیص‌یافته به آن می‌باشد. شکل ۲ نمودار بدترین زمان اجرای یکسری وظیفه بر اساس مقدار حافظه چرک‌نویس تخصیص داده‌شده را نشان می‌دهد.

۴. روش‌های ارائه شده با مجموعه وظایف با ویژگی‌های مختلف آزمایش شدند. نتایج آزمایش‌ها نشان می‌دهد حتی در تعداد وظایف بالاتر روش‌های ارائه شده کارایی بالایی دارند و به‌سرعت به جواب‌های امکان‌پذیر و تعداد کم هسته‌های پردازشی (هدف بهینه‌سازی) همگرا می‌شوند.

در ادامه این مقاله ابتدا فرضیات، مدل در نظر گرفته شده و بحث‌های پایه توضیح داده خواهد شد. سپس به بررسی کارهای پیشین خواهیم پرداخت. مثال انگیزشی و روش‌های ارائه شده بخش‌های بعدی مقاله را تشکیل می‌دهند. در نهایت روش‌های ارائه شده و نتایج آزمایش آنها توضیح داده شده است.

۲- کارهای پیشین

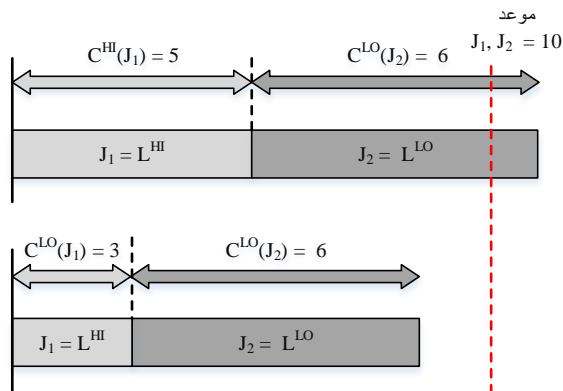
در این بخش به بررسی پژوهش‌های پیشین در زمینه حافظه‌های چرک‌نویس و سامانه‌های بحرانی-مخلوط خواهیم پرداخت.

تخصیص حافظه چرک‌نویس در بسیاری از کارهای پیشین بررسی شده است. در مقاله [۷] یک الگوریتم تقریبی برای نگاشت وظایف و تخصیص حافظه چرک‌نویس ارائه شده است. هدف این الگوریتم در مقاله [۸،۷] کاهش تعداد جزیره‌ها در یک پردازنده چند هسته‌ای جزیره‌ای بوده است و در مقاله [۷] کاهش بهره‌وری هسته‌ها در یک پردازنده چند هسته‌ای با حافظه چرک‌نویس مشترک است. در مقاله [۵] یک روش پویا برای تخصیص حافظه چرک‌نویس برای سامانه‌های چند هسته‌ای نهفته بی‌درنگ ارائه شده است که در آن حافظه چرک‌نویس به‌صورت ایستا بین هسته‌ها تقسیم نمی‌شود و هر موقع یک وظیفه تمام می‌شود، فضای حافظه چرک‌نویس تخصیص‌یافته آن توسط سایر وظایف که به حافظه چرک‌نویس نیاز دارند مجدداً استفاده می‌شود. به‌علاوه، در طرح پیشنهادی، تخصیص حافظه چرک‌نویس با زمان‌بندی و نگاشت وظایف برای رسیدن به کارایی بالاتر سامانه ادغام شده است. برای این منظور در این مقاله دو روش مبتنی بر برنامه‌ریزی خطی و الگوریتم ژنتیک جهت کاهش بدترین حالت زمان اجرا پیشنهاد شده است. در مقاله [۹] به دلیل اینکه در هر زمان همه وظایف می‌توانند درخواست دسترسی به حافظه داشته باشند، بدترین حالت برای هر دسترسی لحاظ شده است که *WCET* (Worse-case execution time) محاسبه‌شده را به‌شدت زیاد می‌کند، برای بهبود تخمین *WCET* در این مقاله برای دسترسی به گذرگاه از سیاست دسترسی چندگانه بخش زمانی *TDMA* (Time-division multiple access) استفاده شده است و این سیاست را در نوشتن مدل برنامه‌ریزی خطی و الگوریتم ژنتیک لحاظ کرده است. بدین ترتیب توانسته است سربار دسترسی به گذرگاه را در محاسبه *WCET* به مقدار قابل‌توجهی کاهش دهد. البته این کار باعث افزایش پیچیدگی مدل برنامه‌ریزی خطی می‌شود. مقاله‌های ذکر شده و سایر مقالات مشابه در زمینه تخصیص حافظه چرک‌نویس به مسئله بحرانی-مخلوط بودن سامانه توجه نکرده‌اند.

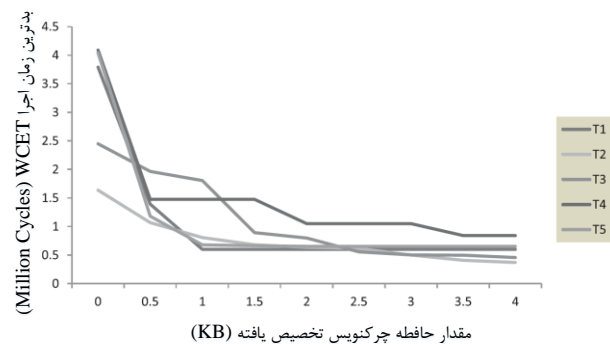
زمان‌بندی وظایف در سامانه‌های بحرانی-مختلط نیز در بسیاری از کارهای پیشین بررسی شده است. ولی باین وجود هیچ‌کدام به مدیریت توأمان حافظه چرک‌نویس و نگاشت وظایف به‌صورت توأمان نپرداخته‌اند. مقاله [۶] بررسی جامعی در زمینه این پژوهش‌ها انجام داده است.

۳- مدل سامانه، فرضیات و پیش‌زمینه

در این بخش به توضیح درباره مدل سامانه و همچنین بحث‌های مقدماتی در مورد سامانه‌های بحرانی-مخلوط خواهیم پرداخت. فرض می‌کنیم یک سامانه بحرانی-مخلوط باید یک مجموعه متناهی از وظایف را اجرا کند. وظایف را متناوب در نظر می‌گیریم. هر وظیفه τ_i بر اساس دوره تناوب (فاصله بین دو زمان رهاسازی متوالی وظیفه)، موعد، زمان لازم برای اجرای وظیفه و سطح بحرانیت تعریف می‌شود که به ترتیب (از سمت چپ) با نمادهای $(T_i, D_i, \tilde{L}_i, L_i)$ نشان داده می‌شوند. فرض می‌کنیم که موعداها با دوره تناوب برابر هستند $D_i = T_i$. این فرض در بسیاری از مقاله‌های معتبر در



شکل ۳: تغییر مقدار WCET برای تضمین سطح بحرانی یک کار



شکل ۴: مقدار WCET یافته به ازای مقادیر متفاوت حافظه چرکونوس [۵].

در مدل در نظر گرفته شده مانند بسیاری از کارهای پیشین (مانند [11], [3], [۱۲]) دو سطح بحرانی را در نظر گرفته ایم: سطح بحرانی بالا و پایین. سامانه در دو حالت کار می کند: در حالت عادی یا بحرانی پایین و حالت بحرانی بالا. در حالت بحرانی پایین هیچ وظیفه ای از بدترین زمان اجرای بحرانی پایین خود تجاوز نمی کند و همه وظایف بر اساس اولویت اجرا می شوند. سامانه بر مدت زمان اجرای وظایف نظارت می کند و در صورتی که وظیفه ای با سطح اولویت پایین از بدترین زمان اجرای بحرانی پایین خود تجاوز کند اجرای آن وظیفه را متوقف می کند ولی اگر یک وظیفه با بحرانی بالا از بدترین زمان اجرای بحرانی پایین خود تجاوز کند سامانه اجازه این کار را می دهد و حالت سامانه از حالت عادی به بحرانی بالا تبدیل می شود. در این حالت تنها وظایف با سطح بحرانی بالا اجرا می شوند. البته در این حالت نیز بر زمان اجرای وظایف نظارت می شود و در صورتی که یک وظیفه با بحرانی بالا از بدترین زمان اجرای بحرانی بالای خود تجاوز کند اجرای آن متوقف می شود. برگشت به حالت عادی زمانی اتفاق می افتد که پردازنده بیکار باشد.

برای اینکه از اتمام اجرای وظایف قبل از موعدهایشان مطمئن شویم از تحلیل های زمان طراحی برای این منظور استفاده می شود. برای این منظور سامانه باید در سه حالت بررسی شود: در حالت نرمال، در حالت با بحرانی بالا و حالت سوئیچ از حالت عادی به حالت با بحرانی بالا. از سه رابطه بازگشتی زیر برای محاسبه زمان پاسخ هر یک از وظایف در حالت های مختلف استفاده خواهیم کرد:

$$R_i^{LO} = C_i(LO) + \sum_{\tau_j \in hp(i)} \left\lceil \frac{R_j^{LO}}{T_j} \right\rceil C_j(LO) \quad (2)$$

$$R_i^{HI} = C_i(HI) + \sum_{\tau_j \in hpH(i)} \left\lceil \frac{R_j^{HI}}{T_j} \right\rceil C_j(HI) \quad (3)$$

$$R_i^* = C_i(HI) + \sum_{\tau_j \in hpH(i)} \left\lceil \frac{R_j^*}{T_j} \right\rceil C_j(HI) + \sum_{\tau_k \in hpL(i)} \left\lceil \frac{R_k^{LO}}{T_k} \right\rceil C_k(LO) \quad (4)$$

رابطه (۲) برای حالت نرمال سامانه، رابطه (۳) برای حالت بحرانی بالا و رابطه (۴) برای حالت سوئیچ از حالت نرمال به حالت بحرانی بالا استفاده می شود. قابل توجه است که برای تخصیص اولویت به وظایف از روش AMC (Adaptive mixed-criticality) استفاده خواهیم کرد. برای مطالعه بیشتر در زمینه سامانه های بحرانی، روابط تحلیل زمانی و روش AMC به مقاله [۳] مراجعه کنید.

برای اجتناب از مشکلات پایداری در حافظه های چرکونوس، فرض می کنیم که حداکثر یک کپی از هر شیء حافظه (منظور از شیء حافظه یک بخش از کد یا داده برنامه می باشد) می تواند در حافظه های چرکونوس وجود داشته باشد؛ بنابراین به علت اینکه ما چندین کپی از اشیای حافظه در حافظه های چرکونوس نداریم، مشکل هماهنگی به وجود نمی آید. همچنین برای مدیریت محتویات حافظه های چرکونوس به وسیله برنامه نویسی یا کامپایلر، فرض می کنیم که هر حافظه چرکونوس دارای فضای آدرس غیرهمپوشان و مجزای خودش می باشد و این فضاهای آدرس در زمان طراحی معلوم هستند؛ بنابراین، کامپایلر یا برنامه نویسی می تواند مستقیماً واحد حافظه ای (واحد حافظه چرکونوس یا حافظه اصلی) را که در آن هر شیء حافظه باید واقع شوند مشخص کنند.

در ادامه با یک مثال تئوری زمان بندی بحرانی-مخلوط را توضیح می دهیم. یک سامانه تک پردازنده قبضه ای را در نظر می گیریم که شامل دو کار J_1 و J_2 باشد که هر دو کار در زمان صفر در دسترس می باشند و باید در موعد زمانی ۱۰ خاتمه یابد. در شکل (۳) فرض کنید J_1 بحرانی حاد است و باید اتمام اجرای آن را قبل از موعد در سطح بالایی از اطمینان تضمین کرد و کار J_2 بحرانی سهل است و در نتیجه به سطح اطمینان بالایی نیاز ندارد. فرض می کنیم ابتدا J_1 سپس J_2 اجرا می شود. برای به دست آوردن WCET کار J_1 ، با توجه به اینکه این وظیفه بحرانی حاد است، باید از ابزار تحلیل ایستا استفاده شود ولی برای وظیفه J_2 استفاده از تحلیل زمانی بر پایه اندازه گیری کافی است. فرض کنید WCET ایستای کار J_1 برابر با ۵ و WCET بر پایه اندازه گیری کار J_1 برابر با ۶ باشد. از آنجاکه $5 + 6 > 10$ ، با استفاده از تکنیک های تجزیه و تحلیل زمان بندی پذیر متعارف نتیجه گیری می شود که این سامانه قابل زمان بندی نیست و کار J_2 موعد را رعایت نمی کند؛ اما اگر به این نکته توجه کنیم که کار J_2 بحرانی سهل است و تضمین بالایی نیاز ندارد، می توان از تحلیل زمانی بر پایه اندازه گیری برای کار J_1 استفاده کرد و WCET کمتری را برای J_1 به دست آوریم. فرض کنید نتیجه تحلیل زمانی بر پایه اندازه گیری مقدار ۳ برای کار J_1 به دست آورد. در این صورت چون $3 + 6 < 10$ است، می توان (البته با سطح اطمینان پایین تری) تضمین کرد که کار J_2 نیز موعد را رعایت می کند [۱۰].



۴- راه حل های پیشنهادی

این بخش به ارائه روش های پیشنهادی خواهیم پرداخت. به علت NP -کامل بودن مسئله، نمی توان آن را (حداقل با الگوریتم های موجود) در زمان چندجمله ای حل کرد. این موضوع زمانی اهمیت می یابد که پیچیدگی سامانه بیشتر شود که در این صورت زمان اجرای روش های بهینه بسیار زیاد خواهد شد. برای این منظور در این مقاله به ارائه روش هایی خواهیم پرداخت که اگرچه بهینه نیستند ولی می توانند جواب های مناسبی را در زمان های کم حتی برای سامانه های پیچیده به دست آورند. روش اول ارائه شده بر اساس الگوریتم فرا اکتشافی تبرید شبیه سازی شده [۱۳] و روش دوم بر اساس الگوریتم ژنتیک [۱۴] است. در ادامه به ترتیب به ارائه این دو روش می پردازیم.

۴-۱- الگوریتم ژنتیک

الگوریتم ژنتیک یک الگوریتم جستجوی فرا ابتکاری است که با موفقیت در چندین مسأله بهینه سازی، مانند برنامه ریزی و نگاشت وظایف [۱۵]–[۱۷] استفاده شده است. در این الگوریتم الهام گرفته شده از طبیعت، در شکل ۴ رخنمودها (Phenotypes) به صورت رشته ها یا سایر ساختارهای داده ای ژن نمود (Genotypes) رمزگذاری شده اند. این الگوریتم با یک جمعیت اولیه از ژن نمودها آغاز می شود که با به صورت تصادفی یا توسط یک روش ابتکاری ایجاد شده است و این جمعیت به صورت تکراری تکامل می یابند تا رخنمودهای بهینه یا نزدیک به بهینه پیدا شوند.

شماره اندیس وظایف در یک رخنمودها	T1	T2	T3	T4	T5	T6	T7	T8	T9	T10
ژن نمود تخصیص حافظه چرکنویس	۰	۳	۱	۲	۱	۲	۰	۱	۳	۱
اولویت وظایف	۳	۵	۸	۲	۱	۹	۶	۲	۱۰	۴

شکل ۴: ساختار یک رخنمود که از دو ژن نمود تشکیل شده

برای این کار، سه عملیات انتخاب (Selection)، تقاطع (Crossover) و جهش (Mutation) که از طبیعت تقلید شده است بر روی ژن نمودها انجام می شود. در عملیات انتخاب، برخی از ژن نمودها (معمولاً مناسب ترین) برای زنده ماندن در نسل بعدی و برای تولید ژن نمودهای جدید انتخاب می شوند. در عملیات تقاطع، دو یا چند ژن نمود از ژن نمودهای انتخاب شده برای تولید ژن نمودهای جدید ترکیب می شوند و در نهایت در عملیات جهش، یک یا چند داده از ژن نمودهای انتخاب شده برای حفظ تنوع ژن نمودها تغییر داده می شوند. این الگوریتم زمانی تمام می شود که یک شرط توقف مشخص، مانند حداکثر تعداد دورهای مجاز برآورده شود. برای اطلاعات بیشتر می توانید به کتاب هایی که در این زمینه نوشته شده است مانند [۱۴] مراجعه کنید.

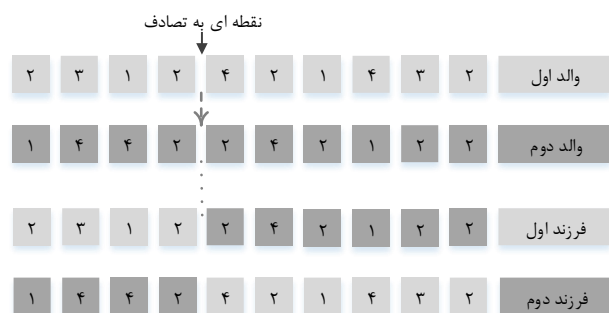
برای این که تخصیص حافظه چرکنویس و نگاشت وظایف را با استفاده از الگوریتم ژنتیک حل کنیم، باید روشی برای کد کردن هر رخنمود به صورت یک ژن نمود مشخص کنیم. به دلیل اینکه یک رخنمود برای این مسئله توسط دو نوع از اطلاعات (تخصیص حافظه چرکنویس/نگاشت وظایف) مشخص می شود، از دو رشته برای نشان دادن هر ژن نمود می توان استفاده کرد. ولی آزمایش هایی که انجام دادیم نشان داد این نحوه کد کردن مناسب نیست. به همین منظور به جای بخش نگاشت هسته از اولویت وظایف استفاده کردیم در اولین رشته، مانند [۵] تعداد بلوک های حافظه چرکنویس تخصیص داده شده به هر وظیفه مشخص می شود؛ در دومین رشته، اولویت وظایف در نگاشت به هسته های پردازشی مشخص می شود. برای تولید رخنمود از یک ژن نمود وظایف بر اساس اولویت (رشته دوم) با استفاده از یک الگوریتم مانند (first fit) به هسته ها نگاشت می شوند.

برای مقایسه بین رخنمودها باید برای هر رخنمود یک مقدار برازندگی (fitness) تعریف شود. رابطه (۵) نحوه محاسبه برازندگی را برای رخنمود p نشان می دهد.

$$fitness(p) = \begin{cases} \frac{1}{UsedCores(p)}, & p \in F \\ -UnScheduled(p), & p \notin F \end{cases} \quad (5)$$

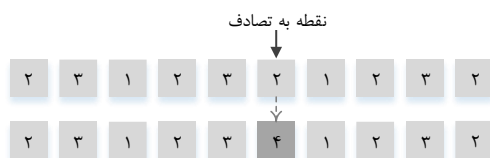
برای رخنمودهایی که زمان بندی پذیر (Schedulable) هستند ($p \in F$) مقدار برازندگی برابر با معکوس تعداد هسته های استفاده شده $UsedCores(p)$ است. به این صورت که هرچقدر تعداد هسته های استفاده شده در یک رخنمود کمتر باشد مقدار برازندگی آن بیشتر است. برای رخنمودهایی که زمان بندی پذیر نیستند ($p \notin F$) مقدار برازندگی کوچک تر از صفر و برابر با منفی تعداد وظایف زمان بندی پذیر ($-UnScheduled(p)$) خواهد شد.

شکل ۵ مثالی از عملیات تقاطع استفاده شده را نشان می دهد. ما از روش انجام ترکیب دو والدی با یک نقطه تقاطع استفاده کرده ایم. به این معنی که برای هر عملیات تقاطع یک نقطه در دو ژن نمود والد به صورت تصادفی انتخاب شده و تمامی اطلاعات در یک سمت از این نقطه بین دو والد تعویض شده و در نتیجه دو ژن نمود جدید (فرزندان) ساخته شده و به جمعیت دور بعد اضافه می شوند.



شکل ۵: عملیات تقاطع

شکل ۶ مثالی از عملیات جهش را نشان می دهد. در هر عملیات جهش یک داده از یک ژن نمود به صورت تصادفی انتخاب شده و مقدار آن به یک مقدار تصادفی معتبر جدید تغییر داده شده است.



شکل ۶: عملیات جهش

۴-۲- الگوریتم تبرید شبیه سازی شده

الگوریتم تبرید شبیه سازی شده که یک الگوریتم جستجوی احتمالی برای حل مسائل بهینه سازی است که از فرآیند بازپخت در متالورژی الهام گرفته شده است. در این فرآیند ماده فیزیکی به آرامی سرد می شود تا در نهایت به یک پیکربندی با حداقل انرژی برسد. در الگوریتم تبرید شبیه سازی شده جواب مسئله را معادل باحالت ماده فیزیکی، هزینه یک جواب را معادل با انرژی ماده در یک حالت و پارامتر کنترلی را معادل با دما در نظر می گیرند. این الگوریتم از دو فرآیند تصادفی تشکیل می شود: یک فرآیند برای تولید جواب ها و یک فرآیند برای پذیرش جواب ها. در فرآیند تولید جواب از یک سری عملیات مانند جابه جایی (Swap) و معکوس (Reversion)، برای تولید جواب های همسایه به صورت تصادفی استفاده می شود. در فرآیند پذیرش جواب ها در صورتی که جواب همسایه تولید شده هزینه کمتری داشته باشد حتماً به عنوان جواب بعدی انتخاب می شود و در صورتی که هزینه کمتری نداشته باشد احتمالاً به عنوان جواب بعدی انتخاب می شود. احتمال انتخاب جواب های با هزینه بیشتر در یک دور الگوریتم به دمای آن دور وابسته است و از تابع بولتزمن حساب می شود. با کاهش دما احتمال انتخاب جواب های بدتر نیز کاهش می یابد و در نتیجه احتمال انتخاب جواب های بدتر در دوره های نهایی نسبت به دوره های ابتدایی کمتر است. برای اطلاعات بیشتر می توانید به کتاب هایی که در این



۲۰۰ وظیفه). همچنین برای مقایسه عادلانه بین دو روش همه آزمایشات بر روی یک سیستم با پردازنده Corei7 و ۱۶ گیگابایت حافظه اجرا شدند. پارامترهای در نظر گرفته شده برای هر یک از الگوریتم‌ها در جدول ۱ ذکر شده است.

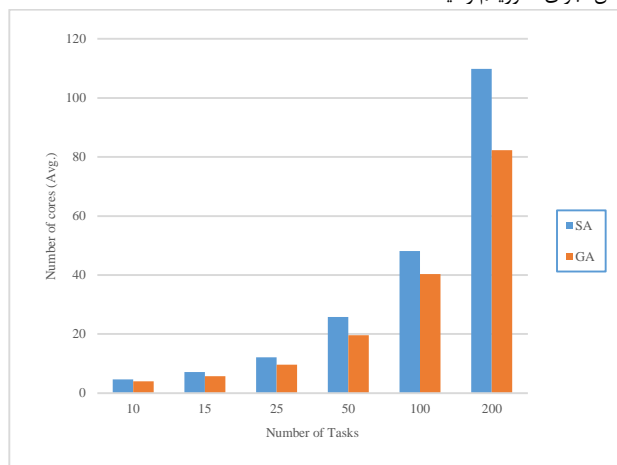
جدول ۱: پارامترهای تنظیم شده در اجرای روش‌های پیشنهادی

الگوریتم ژنتیک	احتمال عملیات جهش	۰.۵
	احتمال عملیات متقاطع	۰.۱
	تعداد جمعیت اولیه	۵۰
	حداکثر تعداد دور	۳۰۰
الگوریتم تبرید شبیه‌سازی	دمای اولیه	۲۰
	ضریب کاهش دمای تصاعد هندسی	۰.۹۹۸
	تعداد دور در یک دمای خاص	۵۰
	حداکثر تعداد دور	۳۰۰

۵-۲- نتایج آزمایشات

نتایج به‌دست‌آمده از اجرای دو روش پیشنهادی برای مجموعه وظایف با تعداد مختلف را نشان می‌دهد. برای هر تعداد وظیفه آزمایش ۱۰ بار با مجموعه وظایف مختلف تکرار شده است و میانگین نتایج گزارش شده‌اند. همان‌طور که شکل ۸ نشان می‌دهد روش ژنتیک ارائه شده در حدود ۱۶ الی ۲۵ درصد بهتر از روش تبرید شبیه‌سازی شده عمل می‌کند.

شکل ۹ متوسط زمان اجرای هر یک از الگوریتم‌ها را برای تعداد وظایف مختلف نشان می‌دهد. همان‌طور که این شکل نشان می‌دهد، زمان اجرای هر یک از الگوریتم‌ها با افزایش تعداد وظایف افزایش می‌یابد. همچنین نتایج نشان می‌دهد که زمان الگوریتم تبرید شبیه‌سازی شده به‌طور خاص در تعداد وظایف بالا به‌طور قابل توجهی کمتر از زمان اجرای الگوریتم ژنتیک است.



شکل ۸: تعداد هسته‌های پردازشی استفاده شده زمان‌بندی‌پذیر به ازای هر تعداد وظایف

زمینه نوشته شده است مانند [۱۳] مراجعه کنید. برای حل مسئله تخصیص حافظه چرکنویس و نگاشت وظایف توسط این الگوریتم جواب‌های مسئله را با دو رشته مدل می‌کنیم. رشته اول مقدار حافظه چرکنویس تخصیص داده شده به وظایف و رشته دوم هسته‌ای را که هر یک از وظایف به آن نگاشت شده‌اند را مشخص می‌کند برای محاسبه هزینه جواب p از رابطه (۶) استفاده می‌کنیم که درواقع قرینه همان رابطه استفاده شده برای محاسبه برازندگی در بخش (۴-۱) است.

$$cost(p) = \begin{cases} -\frac{1}{UsedCores(p)}, p \in F \\ UnScheduled(p), p \notin F \end{cases} \quad (6)$$

برای تولید جواب‌های همسایه یک جواب، از عملیات عوض کردن، معکوس کردن زیررشته و جهش استفاده می‌کنیم. در هر دور فقط یکی از این عملیات به‌صورت تصادفی انتخاب شده و انجام می‌شود در هر یک از این عملیات ابتدا رشته مربوط به تخصیص حافظه چرکنویس و یا نگاشت هسته به تصادف انتخاب شده و سپس عملیات مربوطه انجام می‌شود. در عملیات عوض کردن دو اندیس به تصادف انتخاب شده و مقدار آن‌ها عوض می‌شود. در عملیات معکوس کردن زیررشته، دو اندیس در رشته جواب انتخاب شده و ترتیب داده‌های بین آن معکوس می‌شود. شکل ۷ (الف و ب) هر کدام یک مثال از این عملیات را نشان می‌دهند. عملیات جهش مانند عملیات جهش (شکل ۶) در الگوریتم ژنتیک (بخش ۴-۲) یک اندیس به تصادف انتخاب و مقدار آن به تصادف (در محدوده مجاز) تغییر می‌کند.



شکل ۷: دو روش به منظور تولید زیررشته همسایگی جدید

۵- آزمایشات

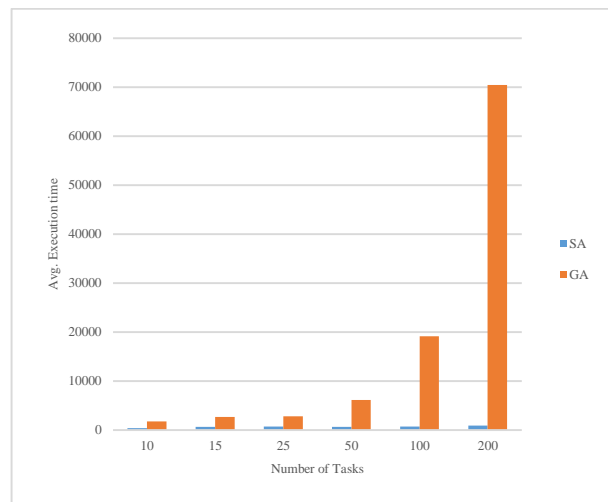
در این بخش به‌صورت تجربی با انجام یکسری آزمایشات به مقایسه روش‌های پیشنهادی خواهیم پرداخت و مزایا و معایب هر یک را بررسی خواهیم کرد.

۵-۱- راه‌اندازی آزمایشات

برای مقایسه روش‌های ارائه شده، هر دو روش ارائه شده در محیط Visual Studio با زبان C# پیاده‌سازی شدند. مشابه با کارهای پیشین معتبر در زمینه سامانه‌های بحرانی-مخلوط (مانند [۱۸], [۳], [۱۱]) یکسری وظیفه به‌صورت تصادفی با توزیع یکنواخت ایجاد شدند. پارامترهایی که به‌صورت تصادفی ایجاد می‌شوند عبارت‌اند از: بدترین زمان اجرای وظایف، دوره تناوب و سطح بحرانی. برای در نظر گرفتن اثر تخصیص حافظه چرکنویس به وظایف اعداد تصادفی مشابه با مقاله [۵] ایجاد شدند. برای اینکه مقایسه بین دو روش جامع باشد، آزمایشات بر روی تعداد وظایف مختلف انجام شد (از ۱۰ الی



- [10] S. Vestal, "Preemptive Scheduling of Multi-criticality Systems with Varying Degrees of Execution Time Assurance," in *28th IEEE International Real-Time Systems Symposium (RTSS 2007)*, 2007, pp. 239–243.
- [11] A. Burns, R. I. Davis, S. Baruah, and I. Bate, "Robust Mixed-Criticality Systems," *IEEE Trans. Comput.*, vol. 67, no. 10, pp. 1478–1491, 2018.
- [12] A. Burns and R. I. Davis, "Mixed Criticality Systems - A Review *," pp. 1–52.
- [13] K.-L. Du and M. N. S. Swamy, "Simulated Annealing," in *Search and Optimization by Metaheuristics*, Cham: Springer International Publishing, 2016, pp. 29–36.
- [14] R. L. Haupt and S. E. Haupt, *Practical Genetic Algorithms*. Hoboken, NJ, USA: John Wiley & Sons, Inc., 2003.
- [15] F. A. Omara and M. M. Arafa, "Genetic algorithms for task scheduling problem," *J. Parallel Distrib. Comput.*, vol. 70, no. 1, pp. 13–22, Jan. 2010.
- [16] Y.-K. Kwok and I. Ahmad, "Efficient Scheduling of Arbitrary Task Graphs to Multiprocessors Using a Parallel Genetic Algorithm," *J. Parallel Distrib. Comput.*, vol. 47, no. 1, pp. 58–77, Nov. 1997.
- [17] ... M. G.-1999 D. A. C. (Cat. N. and undefined 1999, "Genetic list scheduling algorithm for scheduling and allocation on a loosely coupled heterogeneous multiprocessor system," *ieeexplore.ieee.org*.
- [18] D. Liu *et al.*, "Scheduling Analysis of Imprecise Mixed-Criticality Real-Time Tasks," *IEEE Trans. Comput.*, vol. 67, no. 7, pp. 975–991, 2018.



شکل ۹: متوسط زمان اجرای الگوریتم GA و SA به ازای هر تعداد وظایف

۶- نتیجه‌گیری

در این مقاله به مسئله مدیریت حافظه چرک‌نویس و همچنین نگاشت وظایف در سامانه‌های بحرانی-مخلوط چند هسته‌ای پرداختیم. برای این منظور دو روش بر اساس الگوریتم‌های فرا اکتشافی ژنتیک و تبرید شبیه‌سازی شده ارائه شد. برای ارزیابی این الگوریتم‌ها آزمایشات جامعی انجام شد. نتایج نشان داد که روش‌های ارائه شده می‌توانند ضمن حفظ تضمین‌های لازم برای وظایف با بحرانیات مختلف، تعداد هسته‌های استفاده شده و در نتیجه هزینه ساخت سامانه را تا حد خوبی کاهش دهند. برای کارهای آینده تعداد سطوح بحرانیات بیشتری را می‌توان در نظر گرفت. همچنین می‌توان روش‌های ارائه شده را به پردازنده‌های ناهمگون با مدل حافظه چند سطحی گسترش داد.

مراجع

- [1] P. Marwedel, *Embedded system design: embedded systems, foundations of cyber-physical systems, and the internet of things*, 3rd ed. Cham: Springer International Publishing, 2018.
- [2] S. Baruah, "Mixed-Criticality Scheduling Theory: Scope, Promise, and Limitations," *IEEE Des. Test*, vol. 35, no. 2, pp. 31–37, 2018.
- [3] S. K. Baruah, A. Burns, and R. I. Davis, "Response-time analysis for mixed criticality systems," *Proc. - Real-Time Syst. Symp.*, pp. 34–43, 2011.
- [4] E. Lee and S. Seshia, "Introduction to Embedded Systems: A Cyber-Physical Systems Approach," 2016.
- [5] M. M. Kafshdooz and A. Ejlali, "Dynamic shared SPM reuse for real-time multicore embedded systems," *ACM Trans. Archit. Code Optim.*, vol. 12, no. 2, pp. 1–25, 2015.
- [6] A. Burns and R. I. Davis, "Mixed Criticality Systems - A Review *," no. March 2019, pp. 1–81.
- [7] C.-W. Chang, J.-J. Chen, W. Munawar, T.-W. Kuo, and H. Falk, "Partitioned scheduling for real-time tasks on multiprocessor embedded systems with programmable shared srams," in *Proceedings of the tenth ACM international conference on Embedded software - EMSOFT '12*, 2012, p. 153.
- [8] C.-W. Chang, J.-J. Chen, T.-W. Kuo, and H. Falk, "Real-Time Task Scheduling on Island-Based Multi-Core Platforms," *IEEE Trans. Parallel Distrib. Syst.*, vol. 26, no. 2, pp. 538–550, Feb. 2015.
- [9] D. Oehlert, A. Luppold, and H. Falk, "Bus-aware static instruction SPM allocation for multicore hard real-time systems," *Leibniz Int. Proc. Informatics, LIPIcs*, vol. 76, no. 1, pp. 11–122, 2017.